

FIG. 3

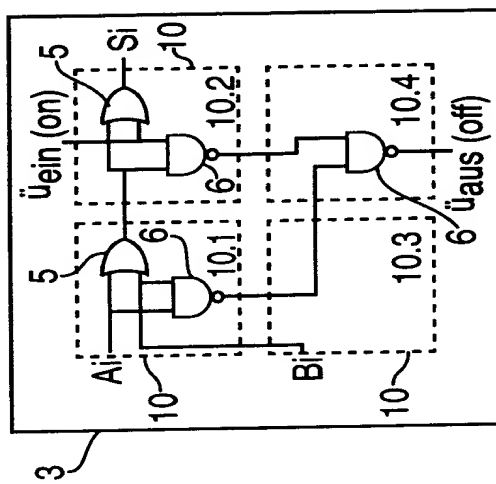


FIG. 4

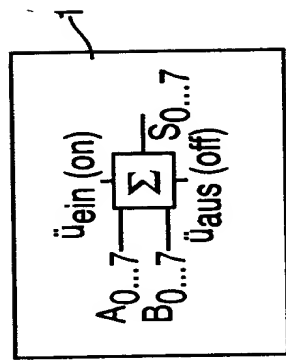


FIG.

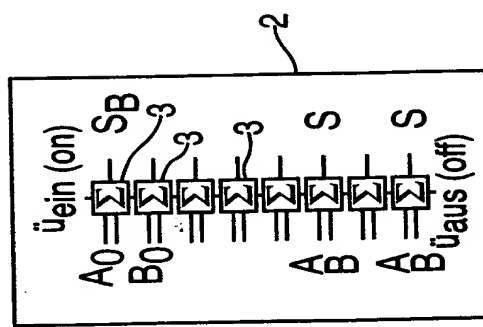


FIG. 2

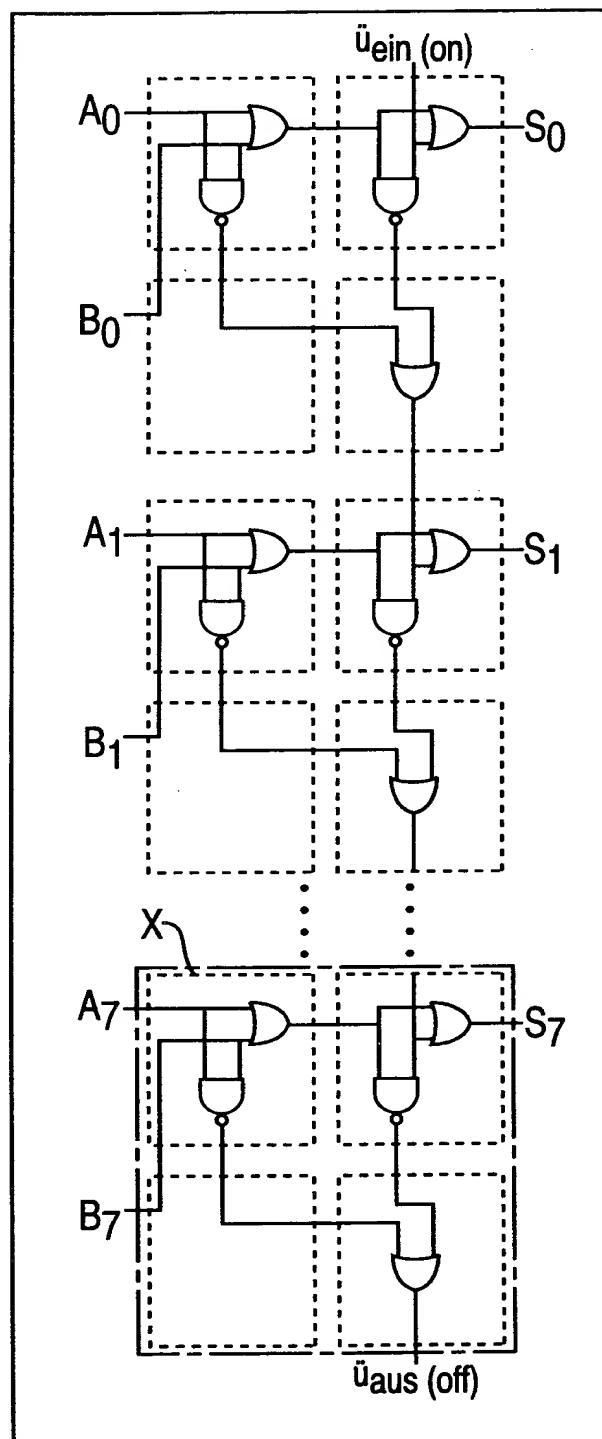


FIG. 5

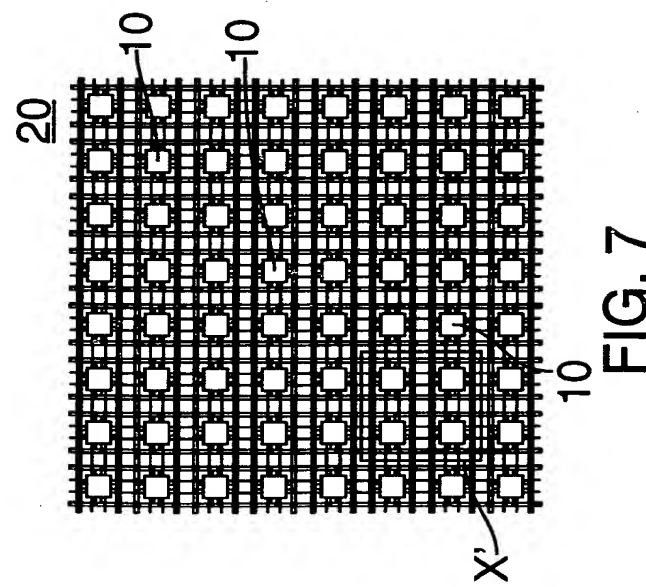
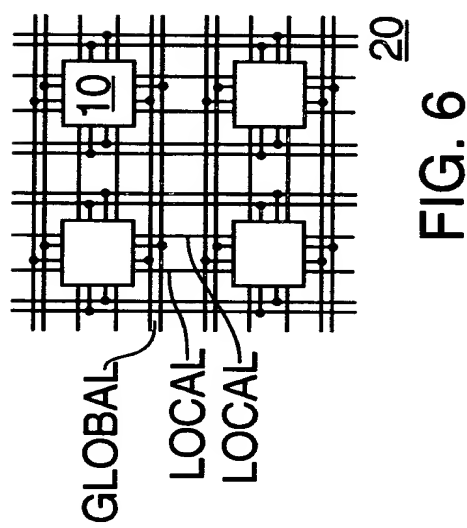
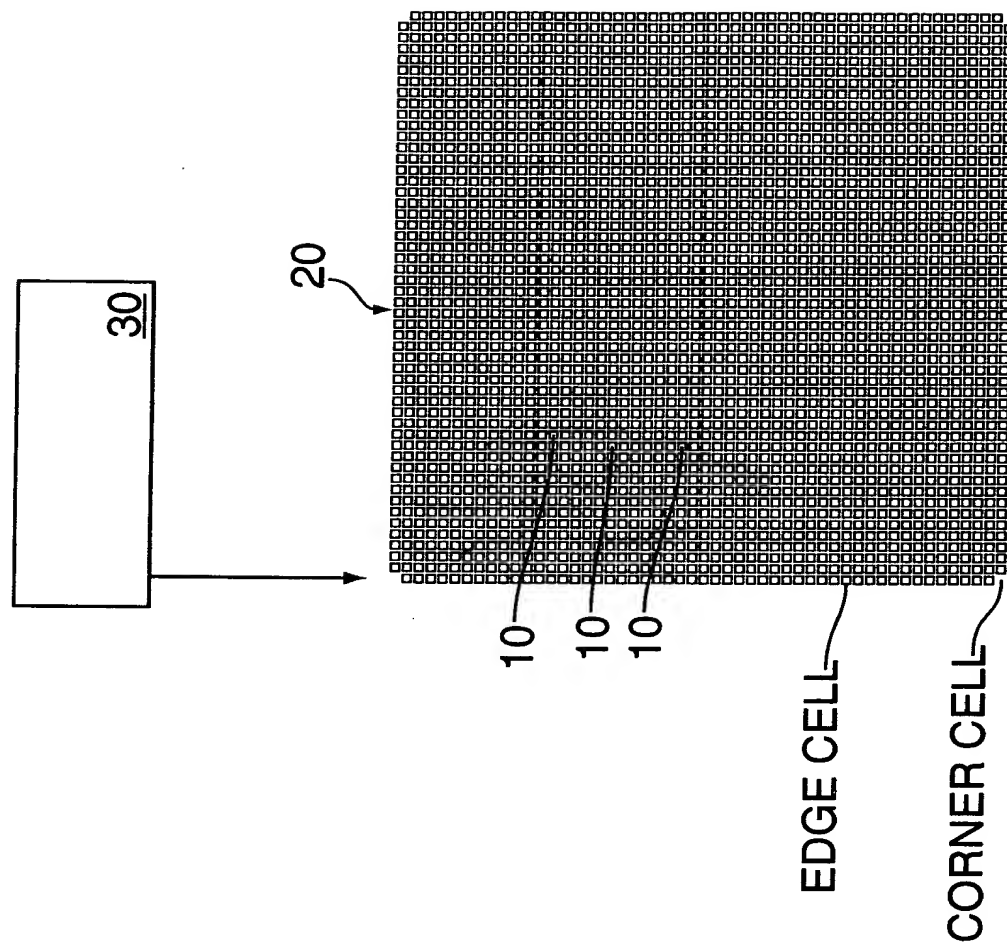
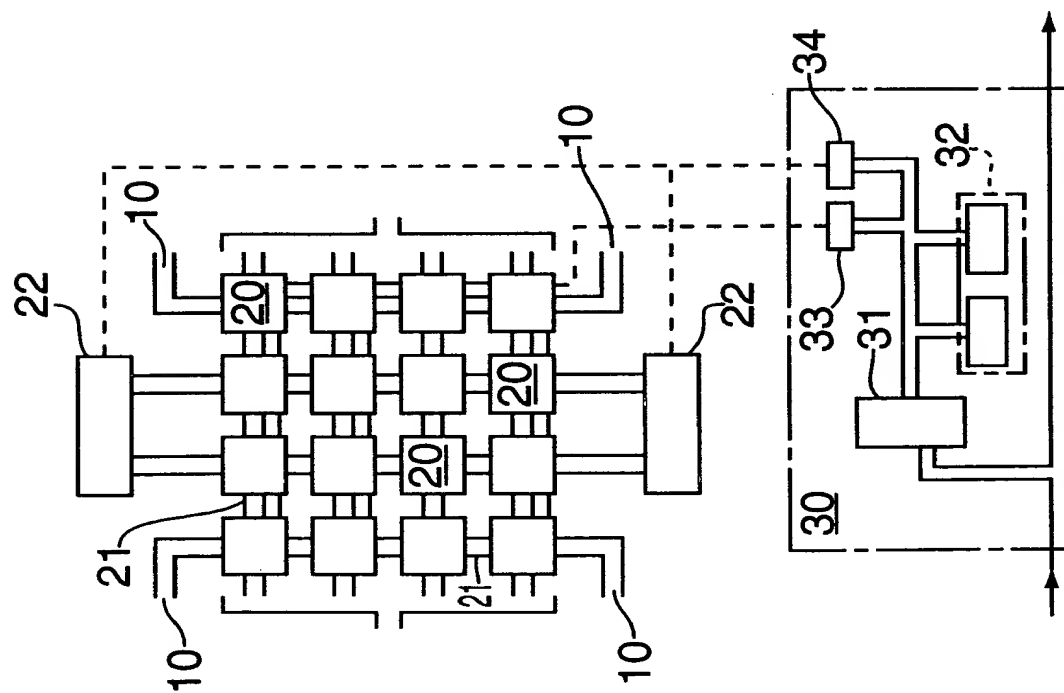
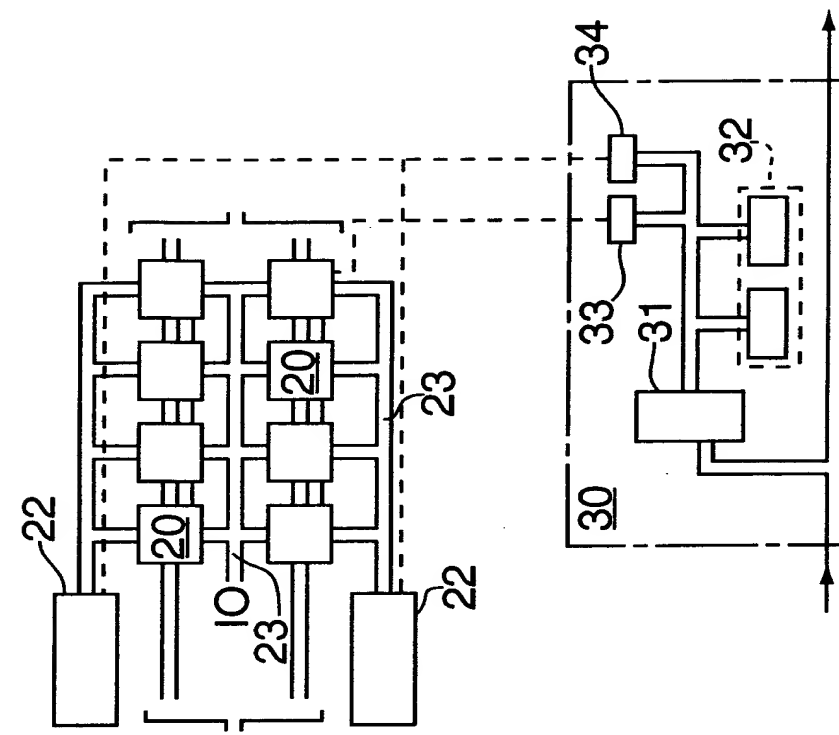


FIG. 8

FIG. 7



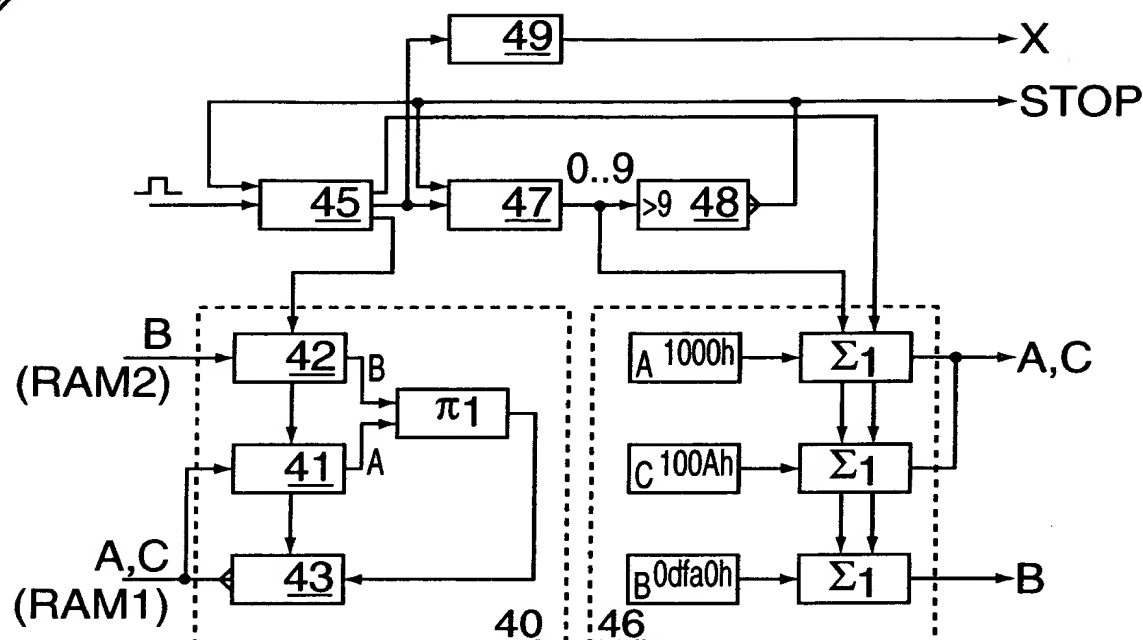


FIG. 11a

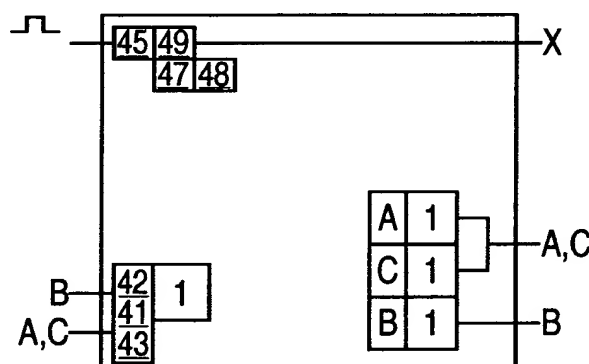


FIG. 11b

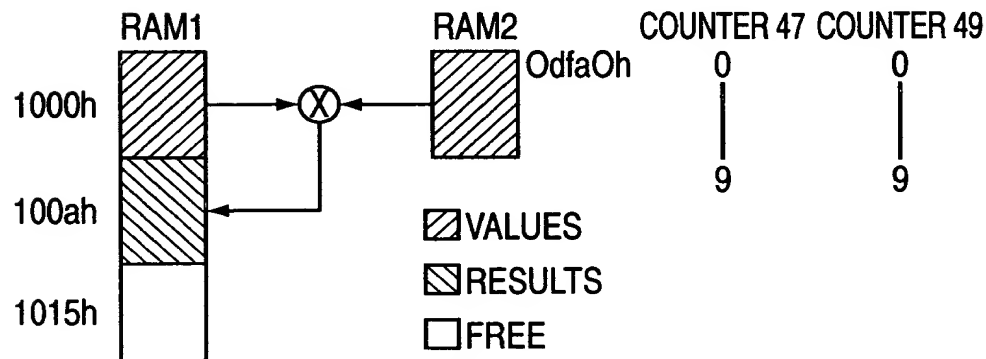


FIG. 11c

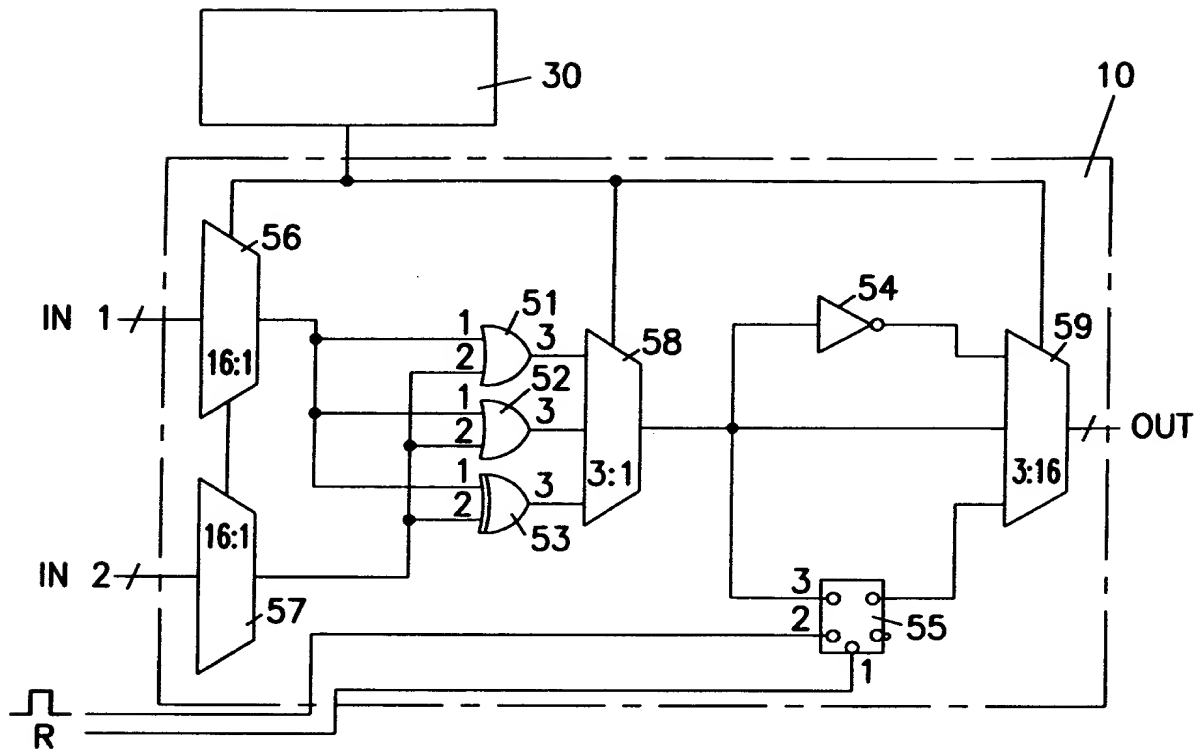
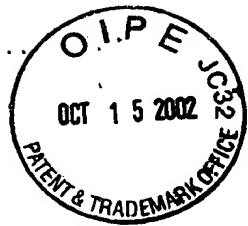


Fig. 12

DFP-INTERNAL  
SYNC-SIGNALS  
FROM THE INDIVIDUAL  
MACROS

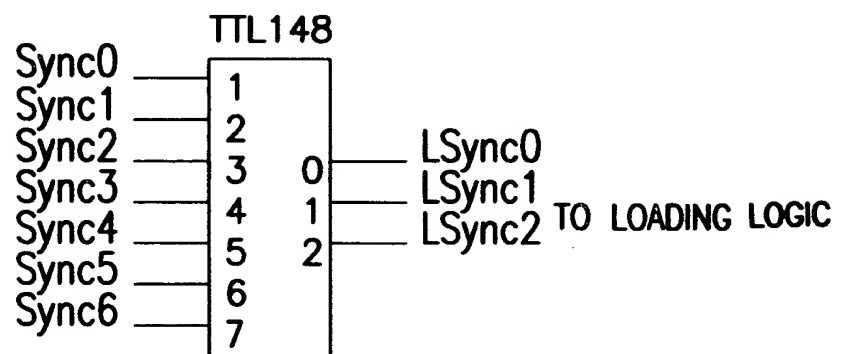


Fig. 13

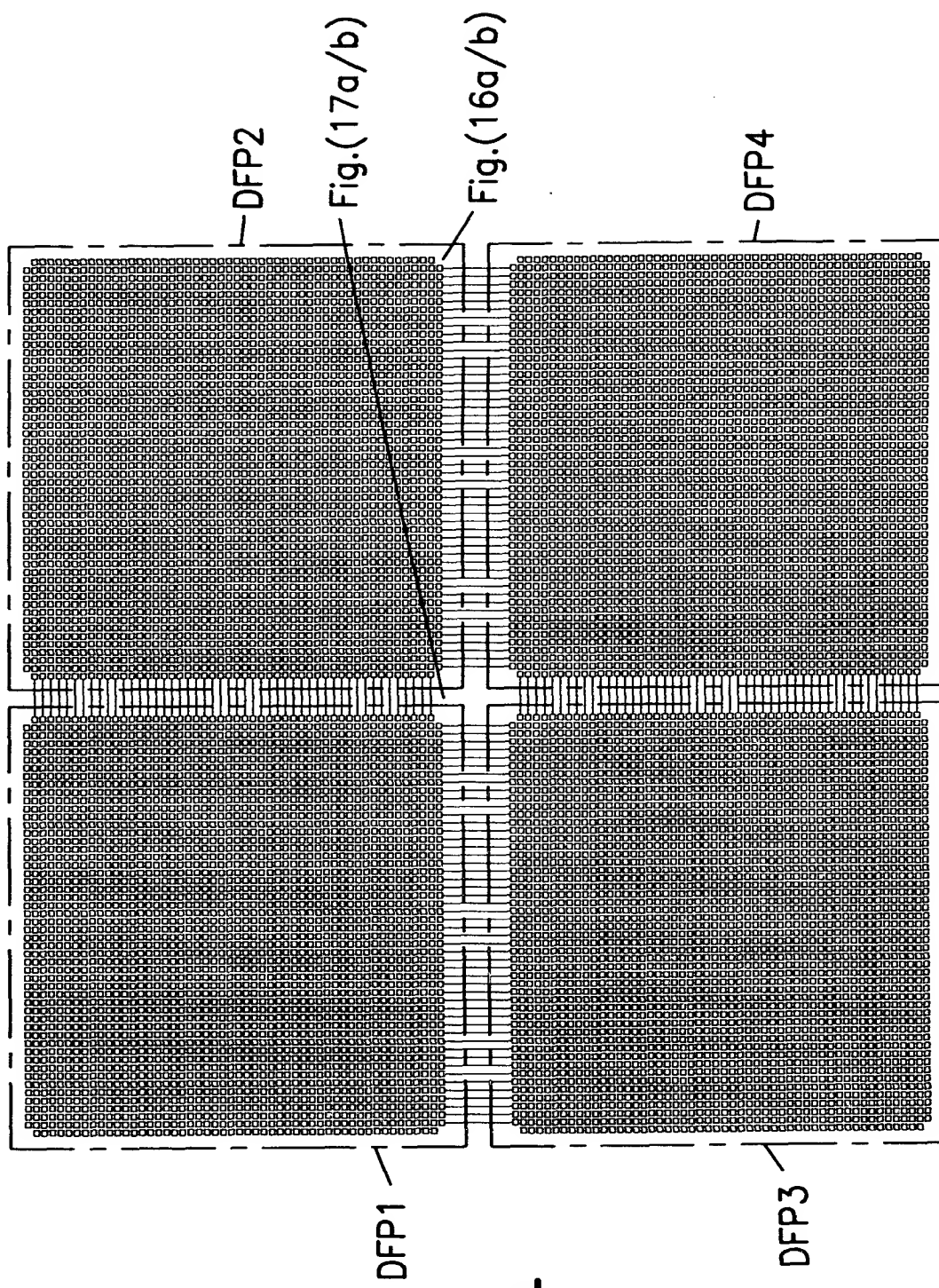


Fig. 14

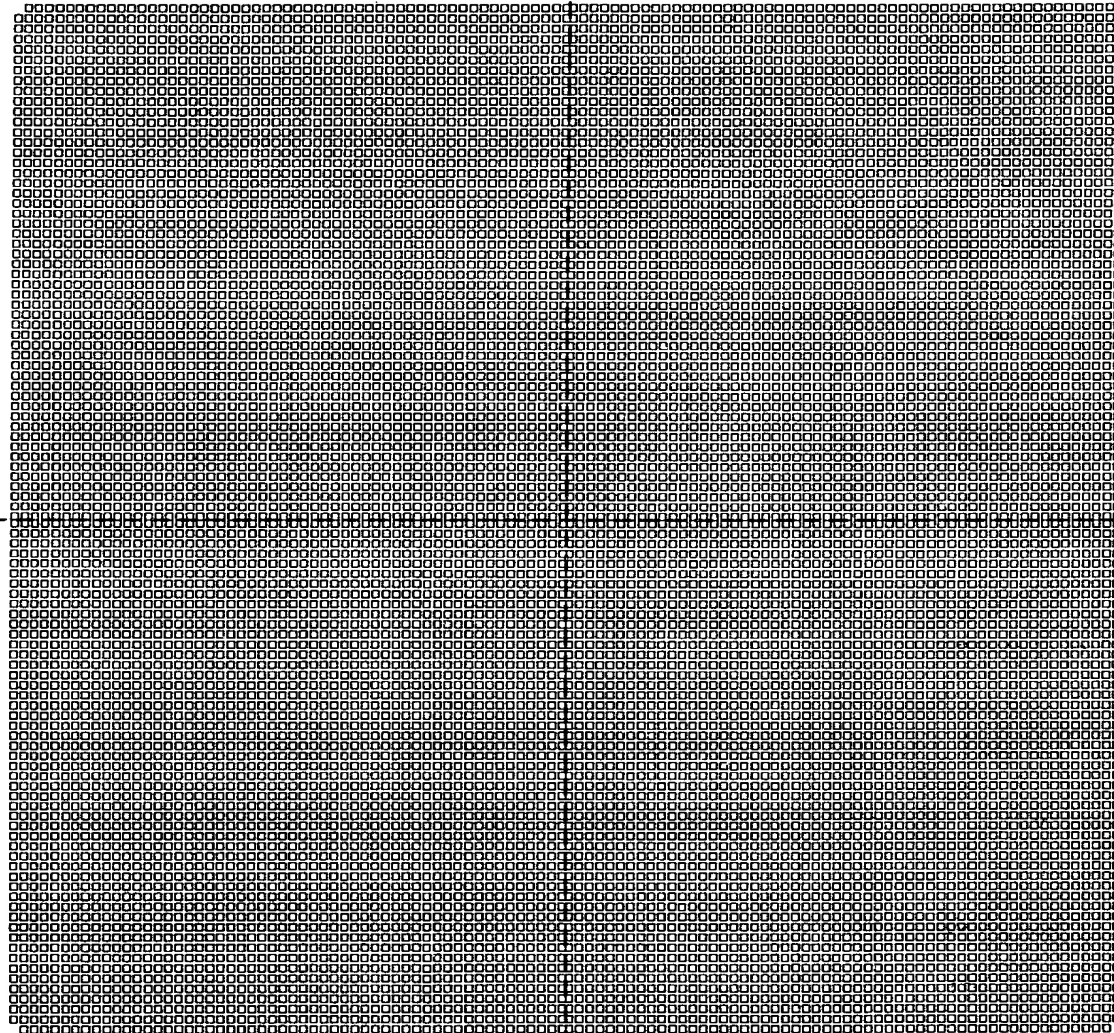


Fig. 15

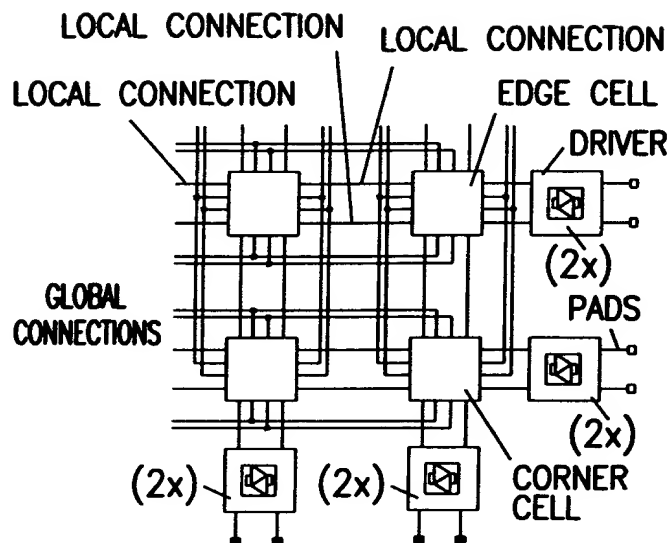


Fig. 16a

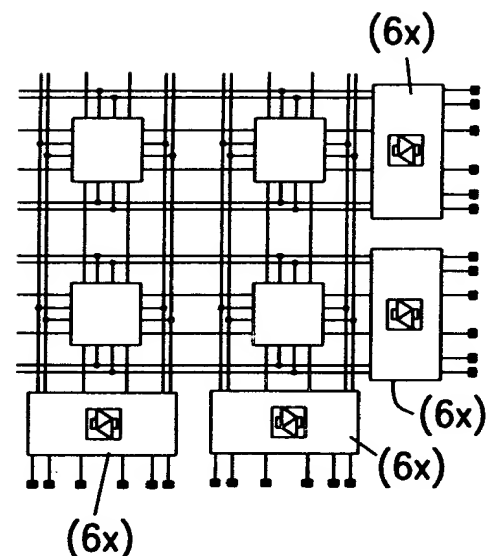


Fig. 16b

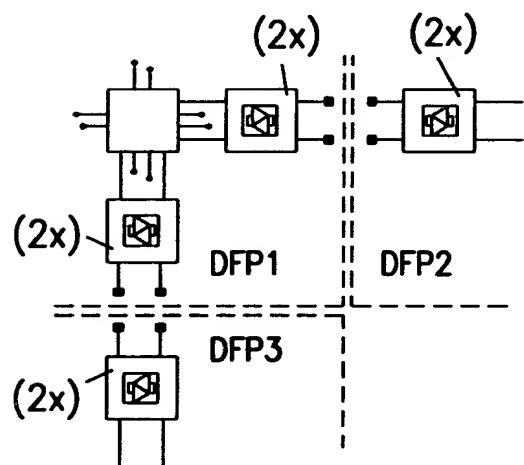


Fig. 17a

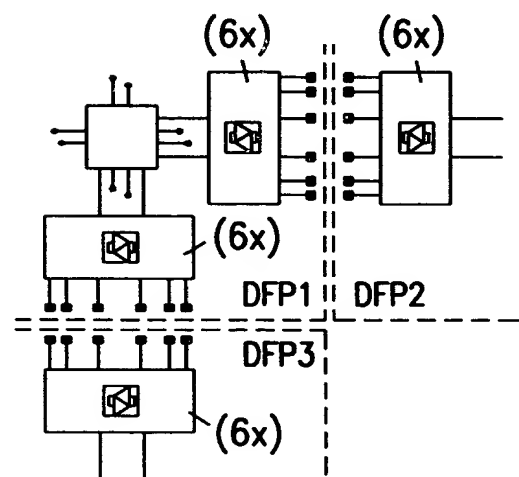


Fig. 17b

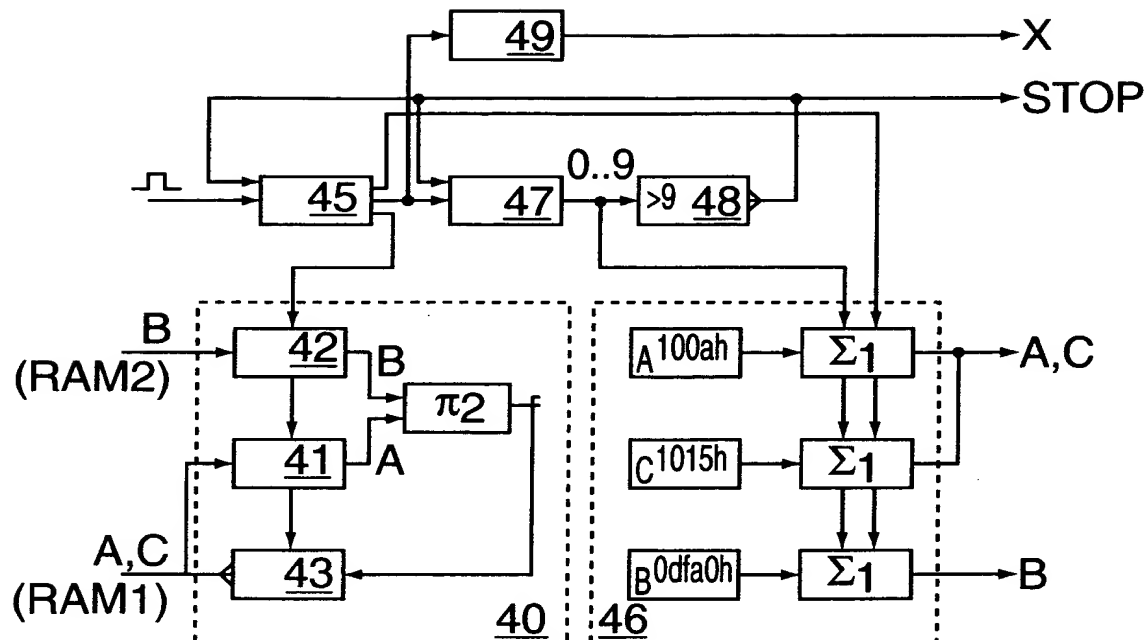


FIG. 18a

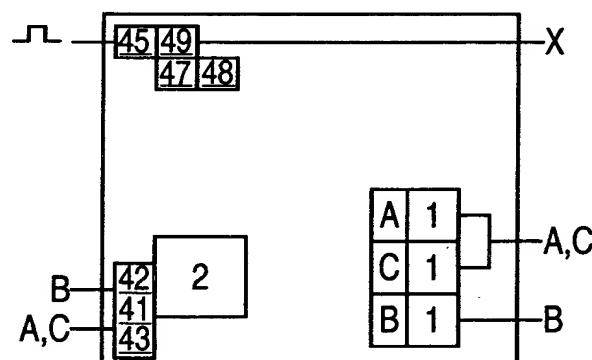


FIG. 18b

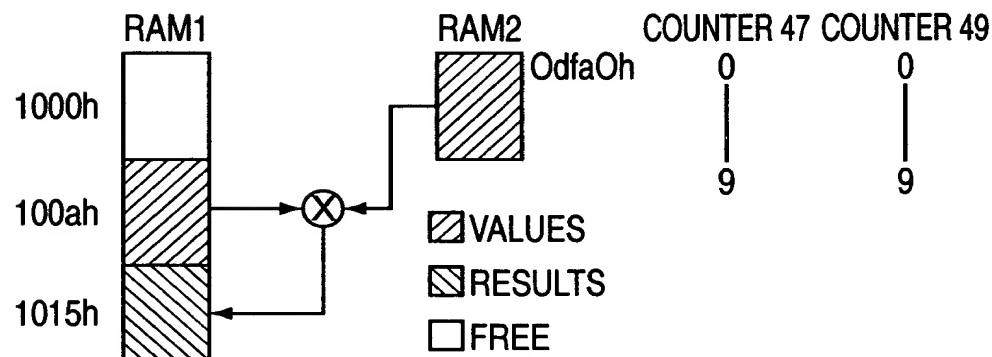
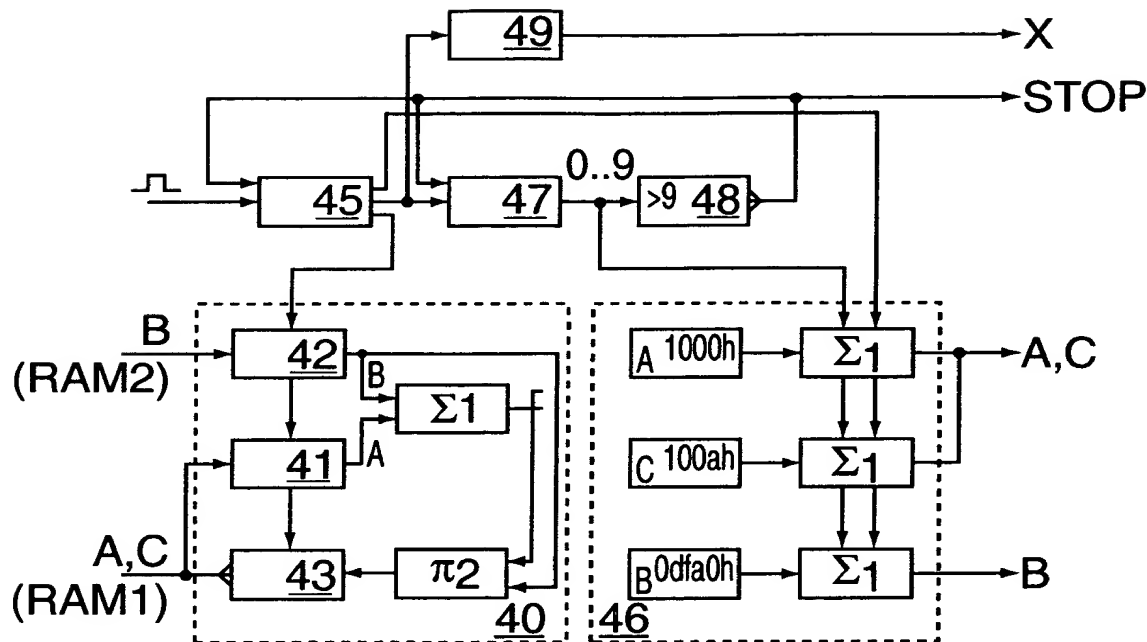
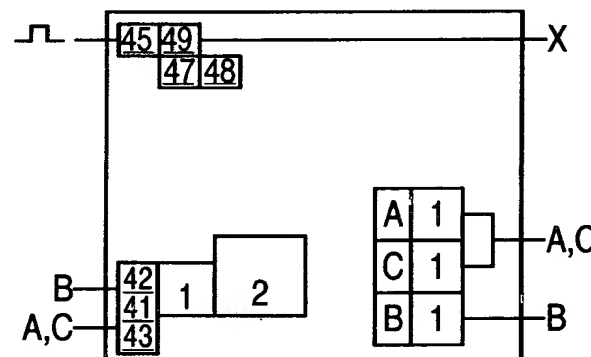


FIG. 18c



**FIG. 19a**



**FIG. 19b**

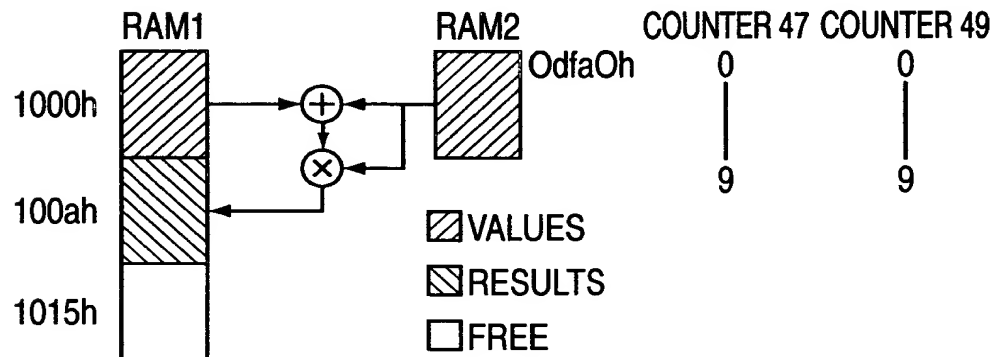


FIG. 19c

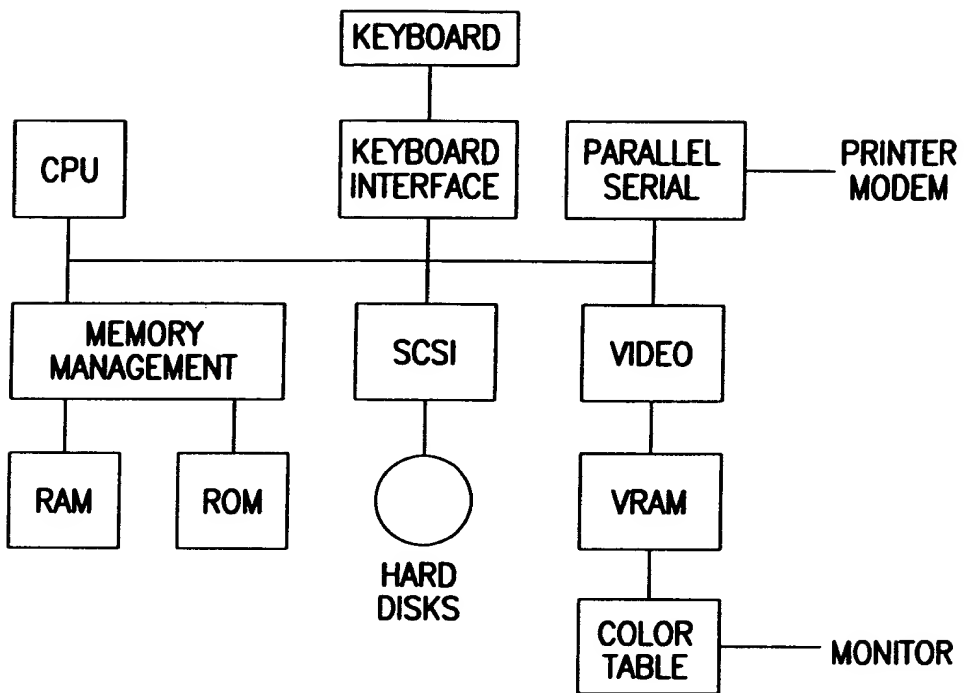


Fig. 20

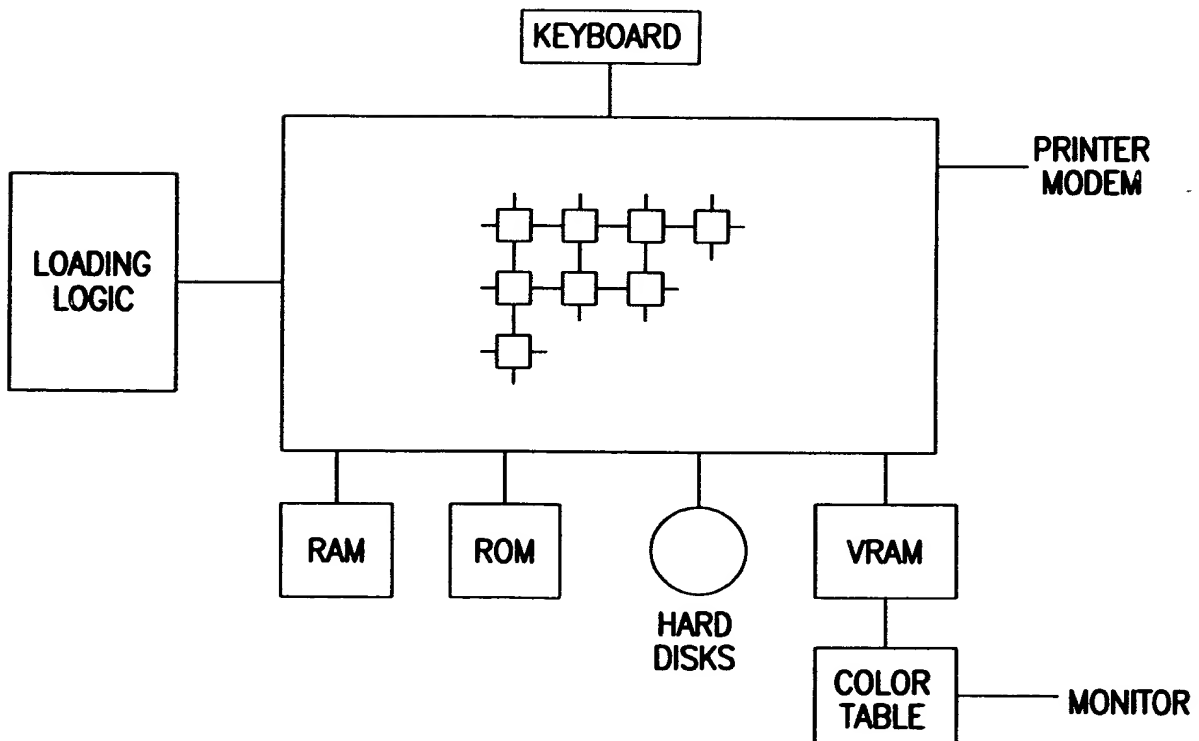


Fig. 21

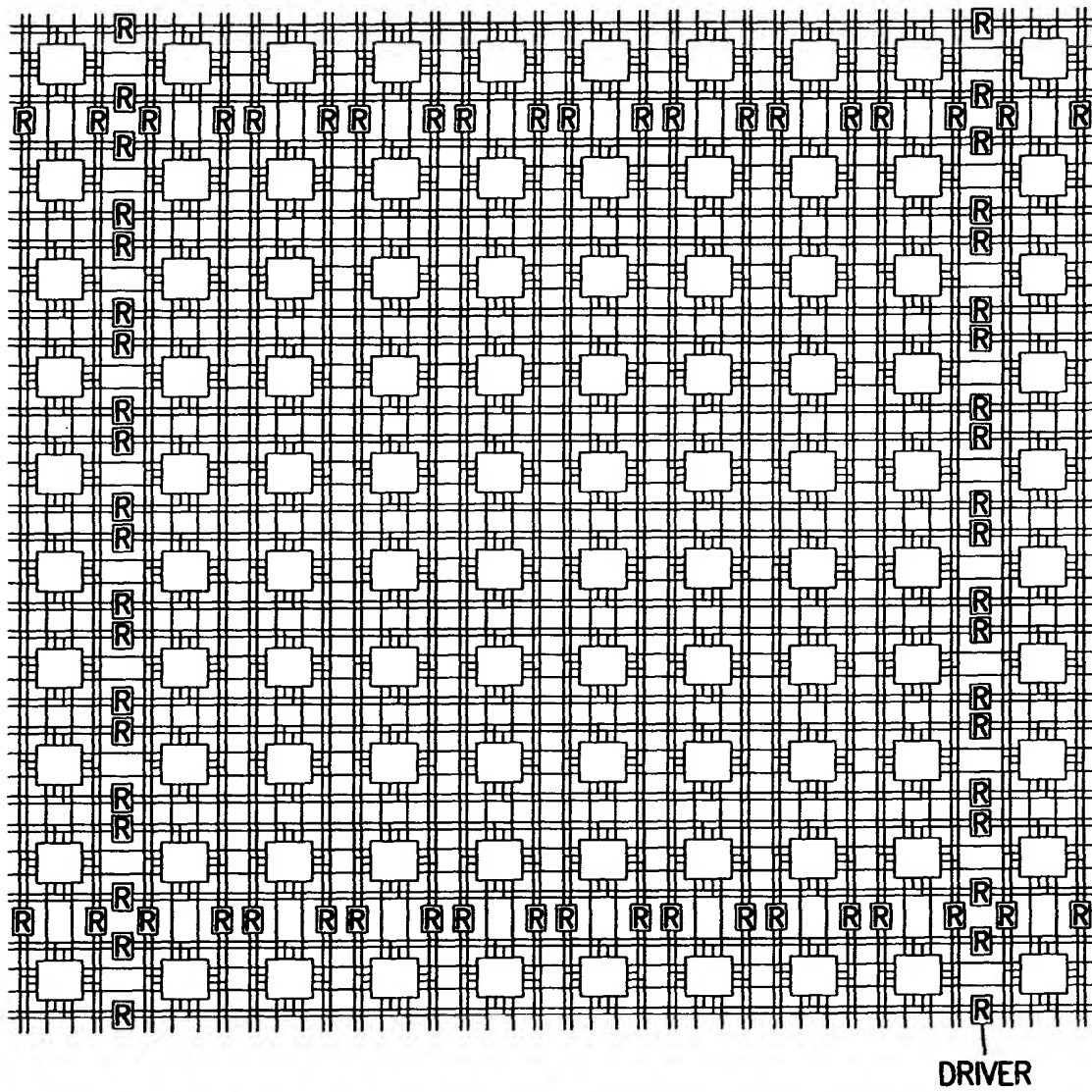


Fig. 22